

## بررسی تغییر مکان افقی شمع‌های بلند تحت اثر بار جانبی در خاک ماسه‌ای\*

جواد کشاورز<sup>(۱)</sup>

جعفر بلوری بزاز<sup>(۲)</sup>

**چکیده** در بسیاری از سازه‌ها، بارهای جانبی بالایی نسبت به بارهای ثقلی به پی یک سازه تحمیل می‌شود. شمع‌های این‌گونه سازه‌ها را که تحت اثر بارهای جانبی قابل توجهی قرار می‌گیرند، می‌توان به دو گروه شمع‌های بلند و کوتاه تقسیم نمود. معمولاً تخمین ظرفیت باربری شمع تحت اثر بار جانبی برای شمع‌های کوتاه براساس حداکثر ظرفیت باربری و برای شمع‌های بلند براساس تغییر مکان افقی مجاز می‌باشد. در تحقیق آزمایشگاهی حاضر برای بررسی رفتار شمع تحت اثر بار جانبی، از لوله‌های فلزی به عنوان شمع در آزمایشگاه استفاده شده است. به منظور تعیین ظرفیت باربری، بار جانبی به شمع‌های فلزی مدفون در خاک ماسه‌ای اعمال شده است. با انجام آزمون‌های گوناگون رفتار شمع‌های بلند به لحاظ تغییر طول و قطر شمع مورد بررسی قرار گرفته است. سپس نتایج آزمون‌های آزمایشگاهی با نظریه ضریب واکنش بستر، نظریه الاستیک و نظریه حداکثر ضریب افقی واکنش بستر مورد مقایسه قرار گرفته است. تحلیل نتایج نشان می‌دهد که نظریه حداکثر ضریب افقی واکنش بستر برای تخمین مقدار جابه‌جایی افقی شمع و نیز تخمین ظرفیت باربری جانبی شمع نسبت به دیگر تئوری‌های ارائه شده مناسب‌تر می‌باشد.

**واژه‌های کلیدی** شمع‌های بلند؛ بار جانبی؛ تغییر مکان افقی؛ خاک غیر چسبنده.

## Evaluation of Horizontal Displacement of Long Piles Subject to Lateral Loading in Sandy Soil

J. Keshavarz

J. Bolouri Bazaz

**Abstract** In many structures, the applied lateral loads are comparable with gravity loads. These types of piles which are subject to high lateral load are usually divided into two categories including long and short piles. The general methods to estimate lateral bearing capacity of short and long piles are based on ultimate bearing capacity and allowable horizontal displacement respectively. In the present research, in order to evaluate lateral bearing capacity of piles subjected to horizontal loads, steel pipes which were embedded in sand soil to simulate piles in the laboratory. A wide range of laboratory tests were performed to investigate the behavior of long piles with different lengths and diameters. The test results were compared with three different theories including Modulus of Subgrade Reaction, Elastic and  $k_{\max}$  approaches. The experimental results reveal that  $k_{\max}$  approach is more suitable for determination of horizontal displacement and also estimation of lateral bearing capacity for long piles.

**Key Words** Long piles, Lateral load, Horizontal displacement, Cohesionless soil.

★ تاریخ دریافت مقاله ۹۳/۲/۱۳ و تاریخ پذیرش آن ۹۴/۲/۳۰ می‌باشد.

(۱) دانش‌آموخته کارشناسی ارشد، دانشکده مهندسی، دانشگاه فردوسی مشهد.

(۲) نویسنده مسئول: دانشیار، دانشکده مهندسی، دانشگاه فردوسی مشهد. bolouri@um.ac.ir

## مقدمه

اغلب شمع‌ها تحت تأثیر بارهای افقی قرار می‌گیرند. در بعضی از سازه‌ها مقدار این بار نسبت به بار قائم ناچیز و قابل صرف نظر کردن است، اما در مواردی شمع‌ها تحت بارهای جانبی قابل توجهی قرار می‌گیرند. شمع پل‌ها، ساختمان‌های بلند، سازه‌های ساحلی و تابلوها علامت کاربرد معمولاً تحت اثر بار جانبی نیز قرار دارند. برای تخمین بار جانبی وارد به شمع روش‌های گوناگونی بیان شده است که به‌طور کلی از دو معیار زیر مشخص می‌شود:

۱. بار جانبی مجاز از تقسیم بار نهایی به ضریب اطمینان.

۲. بار جانبی مجاز براساس تغییر مکان افقی.

به‌طور کلی شمع‌ها به دو دسته شمع‌های بلند و کوتاه تقسیم می‌شوند. ظرفیت باربری شمع‌های کوتاه و شمع‌های بلند به ترتیب به مقاومت خاک و مقاومت شمع بستگی دارد [1]. شمع کوتاه تحت اثر بار جانبی همانند یک جسم صلب عمل می‌کند و کل شمع در نقطه‌ای دوران می‌کند، در صورتی که شمع کوتاه دارای پی (Fix Head) به‌طور کامل جابه‌جا می‌شود. شمع بلند تحت اثر بار جانبی، بسته به اینکه دارای پی یا بدون پی (Free Head) باشد در آن یک یا دو مفصل ایجاد شده و از نقطه مفصل دوران می‌کند.

برای تخمین ظرفیت باربری جانبی شمع‌ها روش‌هایی مانند هانسن، برامز، پتراسوویت و اوارد، میرهوف و پراساد ارائه شده است [2-8]. به جز روش برامز بقیه روش‌ها برای شمع‌های کوتاه کاربرد دارند. هم‌چنین برای شمع‌های بلند می‌توان از نظریه ضریب واکنش بستر [9]، نظریه الاستیک [1] و نظریه حداکثر ضریب افقی واکنش بستر [10] استفاده نمود.

## فعالیت‌های دیگر پژوهشگران

بررسی‌های آزمایشگاهی و میدانی زیادی بر روی شمع تحت اثر بار جانبی صورت گرفته که اکثر آنها بر روی شمع‌های کوتاه است، از آن جمله می‌توان به

[11] Christensen اشاره نمود. این پژوهشگر شمع‌های

چوبی مربعی به بعد ۵۰ میلی‌متر و طول‌های مدفون ۲۵۰ و ۵۰۰ میلی‌متر را در مخزنی مربعی به طول یک متر و ارتفاع ۷۰۰ میلی‌متر که از ماسه خشک پر شده تحت اثر بار جانبی قرار داده است. بار جانبی در ارتفاعات گوناگونی نسبت به شمع اعمال شده است. نتایج این تحقیق نشان می‌دهد که نظریه هانسن بار جانبی شمع‌ها را اندکی دست بالا تخمین می‌زند.

[8] Prasad and Chari شمع‌های لوله‌ای فلزی به قطر ۱۰۲ میلی‌متر و طول ۱۱۳۵ میلی‌متر را در مخزنی به قطر ۱/۸۳ متر و ارتفاع دو متر حاوی خاک ماسه‌ای، قرار داده و پس از اعمال بار جانبی، تغییر مکان افقی و فشار وارد شده به شمع را بررسی کردند. سپس براساس نتایج رابطه‌ای برای تخمین ظرفیت باربری جانبی شمع‌های کوتاه ارائه نموده و با مقایسه دیگر روش‌ها، روش پیشنهادی خود را نسبت به دیگر روش‌ها بهتر بیان داشته است. [12] Zhang et al. با در نظر گرفتن نظریه‌های مختلف، بیان داشته است که تنها در روش پراساد و چری توزیع فشار خاک بر روی شمع درست در نظر گرفته شده است.

[10] Kumar et al. با ارائه حداکثر مدول افقی واکنش بستر و بررسی نتایج آزمایش‌های شمع تحت اثر بار جانبی در اندازه واقعی با نظریه‌های p-y و مدول واکنش بستر، پیشنهاد نموده است که مهندسان برای پیش‌بینی منحنی نیرو-جابه‌جایی در خاک ماسه‌ای از نظریه حداکثر مدول افقی واکنش بستر استفاده نمایند. دلیل این امر ساده‌تر بودن و بهتر پیش‌بینی نمودن رفتار شمع در این روش است.

[13] Murugan et al. به بررسی نظری شمع تحت اثر بار جانبی در خاک غیر چسبنده پرداخته است و مقایسه‌ای بین ظرفیت باربری به‌دست آمده از آیین‌نامه هند و روش برامز ارائه نموده است. در این تحقیق ظرفیت باربری به‌دست آمده از آیین‌نامه هند به‌صورت قابل توجهی کمتر از روش برامز بیان شده است.

### معیارهای رفتاری شمع‌ها

شمع کوتاه در اثر بار جانبی به صورت صلب عمل می‌کند و حول نقطه‌ای دوران می‌کند در صورتی که شمع بلند در اثر بار جانبی به صورت انعطاف پذیر عمل می‌کند و در نقطه‌ای در طول شمع ایجاد مفصل می‌کند. رفتار شمع کوتاه و بلند بستگی به سختی نسبی سیستم شمع و خاک دارد [14]. برای پیش‌بینی رفتار یک شمع که به صورت کوتاه یا بلند عمل می‌کند معیارهای متفاوتی ارائه شده است که در جدول (۱) آورده شده است.

جدول ۱ معیارهای شمع بلند و کوتاه

ردیف	مرجع	شمع کوتاه	شمع بلند
۱	[4 و 3]	$L/T \leq 2$	$L/T \geq 4$
۲	[1]	$K_r > 10^{-2}$	$K_r < 10^{-2}$
۳	[15]	$L/B < 6$	$L/B > 6$
۴	[16]	$S_H < 5$	$S_H > 5$
۵	[17]	$L < 1.5 BK^{0.36}$	$L > 1.5 BK^{0.36}$
۶	[18]	$L > L_c/3$	$L > L_c$

$$T = (E_p I_p / n_h)^{0.2} \quad (۱)$$

$$K_r = (E_p I_p / E_s B^4) \quad (۲)$$

$$S_H = (L / B)(E_p / E_s)^{0.25} \quad (۳)$$

$$K = (E_p / E_s) \quad (۴)$$

$$L_c = 4.44(E_p I_p / E_s)^{0.25} \quad (۵)$$

در روابط ارائه شده  $T$  طول مشخصه می‌باشد که از رابطه (۱) به دست می‌آید. مقدار ضریب واکنش بستر که برای محاسبه طول مشخصه نیاز است در جدول (۲) برای ماسه خشک ارائه شده است. هم‌چنین پارامترهای انعطاف پذیری ( $S_H$  و  $K_r$ )، نسبت سختی ( $K$ ) و طول بحرانی ( $L_c$ ) به ترتیب از روابط (۲)، (۳)، (۴) و (۵) به دست می‌آیند. در این روابط،  $L$  طول مدفون شمع ( $m$ )، پهنای شمع ( $m$ )،  $n_h$  ضریب واکنش بستر ( $kN/m^3$ )،  $E_p$  ضریب یانگ شمع ( $kPa$ )،  $I_p$  ممان

اینرسی شمع ( $m^4$ ) و  $E_s$  ضریب یانگ خاک ( $kPa$ ) می‌باشد.

جدول ۲ محدوده ضریب افقی واکنش بستر [19]

$n_h (kN/m^3)$		
ماسه تراکم	ماسه نیمه تراکم	ماسه شل
20000	7700	2600

### تغییر مکان جانبی شمع بلند در خاک دانه‌ای

نظریه‌های متعددی برای محاسبه تغییر مکان جانبی شمع بلند در خاک دانه‌ای ارائه شده است. نظریه ضریب واکنش بستر، نظریه الاستیک و نظریه حداکثر ضریب افقی واکنش بستر که در این تحقیق مورد استفاده قرار گرفته شده در ادامه بیان شده است.

**نظریه ضریب واکنش بستر.** این نظریه با همانندسازی خاک با یک سری فنرهای الاستیک خطی می‌تواند تغییرات ضریب واکنش بستر را (که وابسته به ابعاد و تغییر شکل‌ها است) در لایه‌های مختلف در نظر بگیرد. بارهای جانبی وارد به شمع مانند یک تیر روی پی الاستیک در نظر گرفته می‌شود و خاک زیر تیر با یک سری فنر جایگزین می‌شود. سختی این فنرها  $k_h$  ضریب افقی واکنش بستر نامیده می‌شود.

$$k_h = \frac{p}{y} \quad (۶)$$

رفتار ارتجاعی شمع با معادله دیفرانسیل زیر قابل بیان است:

$$EI \frac{d^4 y}{dx^4} + p = 0$$

و یا

$$\frac{d^4 y}{dx^4} + \frac{k_h y}{EI} = 0 \quad (۷)$$

در این رابطه‌ها  $x$ ،  $y$ ،  $p$  و  $EI$  به ترتیب فشار در واحد طول شمع، جابه‌جایی افقی، عمق و سختی آن می‌باشد. ضریب واکنش بستر ارائه شده در جدول (۲) کلی است و برای تعیین دقیق‌تر آن می‌توان از رابطه (۹) استفاده کرد [16].

و جداره شمع در نظر گرفته نمی‌شود. این روش که برای خاک‌هایی با لایه‌های متفاوت قابل استفاده است نیازمند به تعیین پارامترهای دقیق خاک محل می‌باشد. در واقع هر چه داده‌های ورودی دقیق‌تر باشند، پاسخ مناسب‌تری از این روش به دست می‌آید. با فرض این که ضریب خاک به‌طور خطی با عمق افزایش می‌یابد می‌توان آن را به صورت تابعی از عمق نشان داد.

$$E_s = N_h x \quad (17)$$

در این رابطه  $N_h$  نرخ افزایش  $E_s$  با عمق (مشابه با  $n_h$  در نظریه ضریب بستر) می‌باشد. با فرض یکسان بودن نرخ افزایش  $E_s$  و  $k_h$  با عمق،  $N_h = n_h$  خواهد بود. مقدار جابه‌جایی در سطح زمین از رابطه (۱۸) به دست می‌آید. مقادیر  $I'_{ph}$  و  $I'_{pM}$  و  $F'_p$  ضرایبی هستند که با داشتن طول، قطر، ممان اینرسی و ضریب یانگ شمع از نمودارهای ارائه شده قابل استخراج می‌باشد [1].

$$y_g = \frac{Q_g}{N_h L^2} (I'_{ph} + \frac{e}{L} I'_{pM}) / F'_p \quad (18)$$

در این رابطه  $y_g$  جابه‌جایی شمع در سطح زمین،  $Q_g$  و  $e$  به ترتیب نیروی افقی وارد به شمع و فاصله آن از سطح زمین می‌باشد.

**نظریه حداکثر ضریب افقی واکنش بستر.** مطالعه بر روی ضریب برشی خاک نشان می‌دهد که این ضریب وابسته به کرنش است [20]. ضریب افقی واکنش بستر مانند ضریب برشی تابعی از کرنش است. محققان با مطالعه واکنش شمع در مقیاس واقعی در برابر بار جانبی و رسم منحنی‌های  $k_h$  در برابر کرنش دریافتند که تقریباً همه منحنی‌ها در کرنش  $0.002$  مجانب می‌شوند [21-23]. بر این اساس مقدار  $k_h$  در کرنش  $\varepsilon = 0.002$  را  $k_{hmax}$  می‌نامند. با توجه به این که تمام منحنی‌های بدون بعد شده ضریب افقی واکنش بستر در برابر کرنش شبیه به هم هستند یک تابع توانی به شکل زیر تعریف می‌شود.

$$\frac{k_h}{k_{hmax}} = 0.052 \varepsilon^{-0.48} \quad (19)$$

$$n_h = 220.286 \frac{Q}{y_T} \quad (9)$$

در این رابطه  $Q$  نیروی افقی ( $kN$ ) و  $y_T$  جابه‌جایی افقی در محل اعمال نیرو ( $m$ ) می‌باشد.

با استفاده از اصل برهم‌نهی، تأثیر بار جانبی و لنگر بر روی ( $y_A$  و  $y_B$ ) به‌طور جداگانه قابل محاسبه‌اند:

$$y_X = y_A + y_B \quad (10)$$

با استفاده از رابطه (۱۰) و بدون بعدسازی پارامترها خواهیم داشت:

$$\frac{y_A EI}{Q_g T^3} = A_y \quad (11)$$

$$\frac{y_B EI}{M_g T^2} = B_y \quad (12)$$

$$\frac{x}{T} = Z \quad (13)$$

$$\frac{L}{T} = Z_{max} \quad (14)$$

$$\frac{k_h T^4}{EI} = \varphi(x) \quad (15)$$

$A_y$  ضریب تغییر شکل برای بار جانبی،  $B_y$  ضریب تغییر شکل برای لنگر،  $Z$  ضریب عمق،  $Z_{max}$  حداکثر ضریب عمق،  $\varphi(x)$  تابع ضریب خاک،  $Q_g$  و  $M_g$  به ترتیب نیرو و لنگر اعمالی به سر شمع می‌باشد. با جای‌گذاری روابط (۱۱) و (۱۲) در رابطه (۱۰) داریم:

$$y_x = A_y \frac{Q_g T^3}{EI} + B_y \frac{M_g T^2}{EI} \quad (16)$$

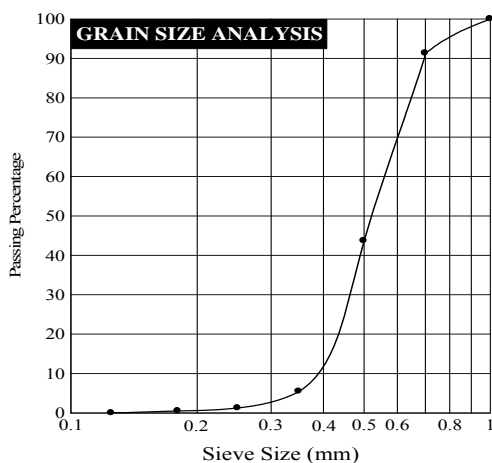
با حل معادلات فوق با استفاده از روش تفاضل محدود برای عمق‌های، مقدار ضریب  $A_y$  و  $B_y$  در سطح ( $z=0$ ) به ترتیب برابر با  $2/435$  و  $1/623$  می‌باشد [9].

**نظریه الاستیک.** اساس نظریه الاستیک و ضریب واکنش بستر یکسان است اما فرض‌ها و روش حل آنها با یکدیگر متفاوت می‌باشد. در این روش خاک یک محیط الاستیک ایده‌آل فرض می‌گردد و شمع یک مستطیل باریک با سختی خمشی ثابت  $EI$  در نظر گرفته می‌شود. برای ساده‌سازی تحلیل، تنش برشی بین خاک

بخش‌های قبل ارائه شده مورد مقایسه قرار گرفته است. مصالح و تجهیزات مورد استفاده و نحوه انجام آزمایش در بندهای ۶، ۷ و ۸ شرح داده شده است. براساس نتایج به دست آمده می‌توان انتخاب روش مناسب و کاربردی را به مهندسان توصیه نمود.

### خاک مورد استفاده

خاک مورد استفاده در این تحقیق، ماسه فیروزکوه بوده است که دانه‌بندی آن در شکل (۱) نمایش داده شده است. سایر مشخصات این ماسه در جدول (۴) ارائه داده شده است. زاویه اصطکاک و ضریب ارتجاعی آن به ترتیب از آزمایش برش مستقیم و آزمایش سه‌محوری [25] به دست آمده است.



شکل ۱ منحنی دانه‌بندی خاک مورد استفاده

جدول ۴ مشخصات خاک مورد آزمایش

وزن مخصوص ( $\text{kN/m}^3$ )	تراکم نسبی (%)	$\phi$ (درجه)	$E_s$ (MPa)
13.8	$28 \pm 1$	33	16.4
15	$91 \pm 1$	41.5	40

### دستگاه و مصالح مورد آزمایش

در تحقیق حاضر برای بررسی رفتار شمع تحت اثر بار جانبی مجموعه دستگاهی طراحی و ساخته شد که جزئیات آن در زیر ارائه شده است.

با در نظر گرفتن تغییر شکل مجاز و با استفاده از رابطه ۲۰ می‌توان مقدار کرنش را در خاک می‌توان محاسبه کرد [24]. هم‌چنین حد بالا و پایین  $k_{hmax}$  با استفاده از جدول (۳) قابل تعیین است.

$$\varepsilon = \frac{y}{1.667B} \quad (20)$$

جدول ۳ مقادیر پیشنهادی  $k_{hmax}$  [23]

$k_{hmax}$ (ksf)	دانشیه نسبی
830-1660	متراکم
450-950	نیمه متراکم
85-225	سست

اکنون با به کارگیری رابطه (۲۱) مقدار  $k_h$  به دست می‌آید. با قرار دادن  $n_h = k_h$  و استفاده از رابطه (۱) برای تعیین مقدار  $T$ ، مقدار  $Q_g$  قابل محاسبه است.

$$Q_g = \frac{yEI}{A_y T^3} \quad (21)$$

بر پایه تحلیل‌های انجام شده توسط متلاک و ریس [9] ضریب جابه‌جایی در سطح زمین  $A_y = 2.435$  است. در حقیقت با داشتن حد بالا و پایین  $k_{hmax}$  برای یک تغییر شکل مجاز دو مقدار برای  $Q_g$  محاسبه می‌شود.

### اهداف و روش تحقیق

اغلب تحقیقات آزمایشگاهی انجام شده بر روی شمع‌های کوتاه بوده است و شمع‌های بلند کمتر به شکل آزمایشگاهی مورد بررسی قرار گرفته است.

در تحقیق حاضر سعی شده با انجام آزمون‌های آزمایشگاهی، ظرفیت باربری و رفتار شمع‌های بلند تحت اثر بار جانبی بررسی گردد. هم‌چنین تعیین نقطه پلاستیک (مفصل) در شمع‌ها و نیز اثر پارامترهای مؤثر مانند طول و قطر شمع نیز مورد تحقیق واقع شده‌اند.

در این تحقیق با انجام آزمون‌های آزمایشگاهی، شمع‌های بلند تحت اثر بار جانبی قرار گرفته و تغییر شکل آنها اندازه‌گیری و با نظریه‌های مختلف که در

**شمع مورد آزمایش.** در این تحقیق از لوله‌های گالوانیزه و آلومینیومی با طول مدفون ۴۰۰، ۶۰۰ و ۸۰۰ میلی‌متر به عنوان شمع استفاده شده است. مشخصات لوله‌های مورد استفاده پس از انجام آزمایش کشش بر روی آنها در جدول (۵) درج شده است. شمع‌های شماره ۱ و ۲ از جنس گالوانیزه و شمع‌های شماره ۳ و ۴ آلومینیومی می‌باشند.

جدول ۵ مشخصات شمع‌های مدل شده در آزمایشگاه

شماره شمع	وزن (kg/m)	ضریب یانگ (GPa)	ضخامت دیواره (mm)	قطر خارجی (mm)
1	1.00	196	2.4	21.7
2	1.31	196	2.4	27
3	0.25	68	1.9	22
4	0.36	68	1.4	24.8

**مخزن خاک.** ابعاد مخزن مورد استفاده بر پایه تأثیر منطقه تنش باید ۱۰ برابر قطر شمع در جهت اعمال نیرو برای شمع تحت اثر بار جانبی در حالت استاتیکی در نظر گرفته شود [1]. بدین منظور با توجه به شمع‌های مورد استفاده از یک مخزن دایروی به قطر ۷۰۰ میلی‌متر و ارتفاع یک متر استفاده شده است. برای اندازه‌گیری جابه‌جایی افقی شمع در عمق خاک، سوراخ‌های کوچکی در فواصل ۲۰۰ میلی‌متری بر روی مخزن در جهت و خلاف جهت اعمال نیرو ایجاد شده است.

**نحوه اعمال نیروی افقی.** برای اعمال نیروی افقی قرقره‌ای در ارتفاع ۲۷۰ میلی‌متری از سطح خاک ثابت شده است. سیم مفتولی از یک طرف به شمع و از طرف دیگر با عبور از روی قرقره به مخزن کوچکی متصل شده است. در داخل مخزن کوچک وزنه قرار می‌گیرد و نیروی استاتیکی به شمع اعمال می‌شود. برای کنترل دقت و صحت مقدار بار وارد، برای چند آزمایش بین سیم مفتول و شمع نیروسنج قرار داده شده است و بدین وسیله مقدار نیروی اعمالی کنترل شده است [۲۶].

**نحوه اندازه‌گیری جابه‌جایی افقی.** جابه‌جایی افقی در سطح خاک با گیج الکتریکی اندازه‌گیری شده است.

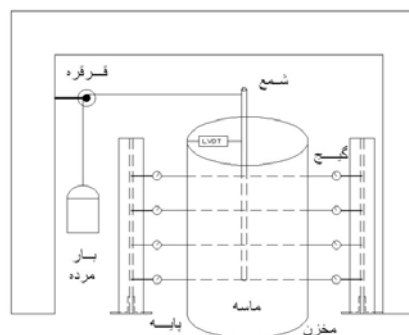
برای مقدار جابه‌جایی افقی شمع در عمق خاک، سیم‌های نازکی در فواصل ۲۰۰ میلی‌متری به شمع‌ها متصل می‌شوند. این سیم‌ها با عبور از سوراخ‌های ایجاد شده بر روی مخزن خاک در جهت و خلاف جهت اعمال نیرو به گیج‌های مکانیکی متصل می‌شوند. در هر مرحله با افزایش بار وارده، مقدار جابه‌جایی توسط گیج‌ها ثبت می‌شود و در نتیجه در هر بارگذاری وضعیت شمع مشخص می‌گردد [۲۶].

### نحوه انجام آزمایش

در ابتدا سیم‌های نازک برای اندازه‌گیری جابه‌جایی افقی در فواصل منظم به شمع متصل می‌شوند و سپس شمع در داخل مخزن قرار می‌گیرد. خاک‌ریزی داخل مخزن تا رسیدن به تراز سوراخ‌های ایجاد شده بر روی مخزن انجام می‌شود. هنگام رسیدن به تراز سوراخ ابتدا سیم‌های نازک متصل به شمع از داخل سوراخ مخزن به سمت گیج‌هایی که بر روی پایه‌ای در کنار مخزن ثابت شده‌اند، هدایت می‌شوند. سیم‌ها مقداری کشیده می‌شوند و سپس به گیج‌ها متصل می‌شوند. این سیم‌ها بسیار نازک‌اند و در صورت کوچک‌ترین ایجاد اصطکاک یا درگیری پاره می‌شوند. بعد از اتمام خاک‌ریزی سیم مفتولی در ارتفاع ۲۷۰ میلی‌متری از سطح خاک به شمع متصل می‌شود. گیج الکتریکی در سطح خاک مماس با بدنه شمع قرار می‌گیرد. با قرار دادن وزنه در داخل مخزن کوچک به شمع نیروی جانبی اعمال می‌شود و شمع حول نقطه‌ای دوران و یا حول نقطه‌ای در طول شمع ایجاد مفصل می‌کند. در نتیجه سیم‌های متصل به شمع کشیده شده و مقدار جابه‌جایی شمع توسط گیج‌ها نمایش داده می‌شود. در هر بارگذاری مقدار نیرو و جابه‌جایی در اعماق متفاوت ثبت می‌شود. تصویر دستگاه آزمایش و همچنین طرح شماتیک آن در شکل (۲) نمایش داده شده است [۲۶].

### برنامه آزمایش‌های انجام شده

هر یک از آزمایش‌های انجام‌شده با یک شماره منحصر به فرد و به صورت  $Ga-L*D*$  یا  $Al-L*D*$  مشخص شده است. حروف Ga نشان دهنده گالوانیزه بودن و Al نشان دهنده آلومینیومی بودن شمع مورد استفاده است. حرف L بیانگر طول شمع و عدد بعد از آن طول شمع (cm) می‌باشد. حرف D بیانگر قطر خارجی شمع و عدد بعد از آن قطر شمع (mm) می‌باشد. به عنوان مثال منظور از  $Ga-L40-D21.7$  شمع از جنس گالوانیزه با طول ۴۰ سانتی متر و قطر خارجی ۲۱/۷ میلی‌متر می‌باشد. آزمایش‌ها در ماسه با دو وزن مخصوص ( $13.8 \text{ kN/m}^3$  و  $15 \text{ kN/m}^3$ ) متفاوت انجام شده است. برای بررسی تغییر مکان افقی شمع‌های بلند و کوتاه با توجه به سختی شمع و منطقه تأثیر تنش از شش لوله آلومینیومی و شش لوله گالوانیزه با طول‌های ۴۰۰، ۶۰۰ و ۸۰۰ میلی‌متر و قطرهای خارجی متفاوت (که لیست آنها در جدول شماره (۷) قابل مشاهده است) استفاده شده است.



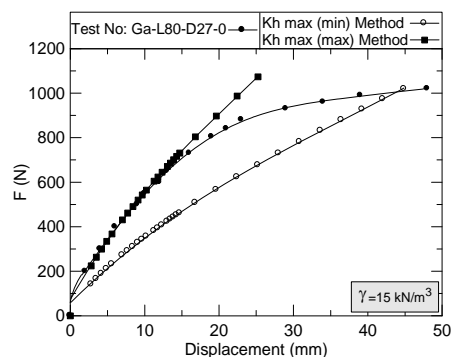
شکل ۲ تصویر و طرح شماتیک دستگاه آزمایش

جنس شمع و نیز قطر و طول آن با توجه به سختی خاک مورد استفاده در آزمایشگاه، به گونه‌ای انتخاب شده که تغییر مکان‌های ایجاد شده متناسب با واقعیت باشد. در همین ارتباط، نسبت طول به قطر در این تحقیق بین ۱۵ تا ۴۰ در نظر گرفته شده است.

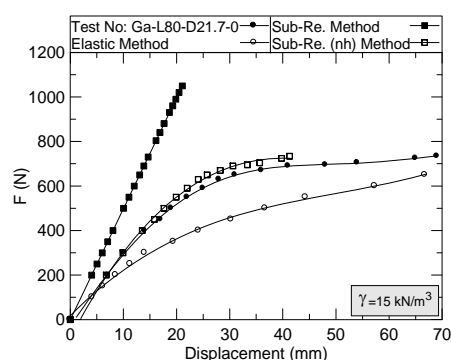
### نتایج آزمایش‌ها

نمودارهای نیرو - جابه‌جایی شمع‌های بلند با استفاده از نظریه‌های بیان شده به دست آمده است. برای تعیین ضریب واکنش بستر از رابطه (۱۶) استفاده شده است. در این رابطه برای داشتن پارامتر طول مشخص نیاز به تعیین ضریب افقی واکنش بستر می‌باشد. دو روش برای به دست آوردن ضریب افقی واکنش بستر به کار برده شده است. روش اول استفاده از جدول (۲) می‌باشد. معمولاً زمانی که اطلاعات دقیقی در دست نباشد از این جدول برای خاک‌های ماسه‌ای استفاده می‌شود. روش دیگر استفاده از رابطه (۹) می‌باشد. با استفاده از این رابطه مقدار ضریب افقی واکنش بستر با توجه به مقدار بار اعمالی و جابه‌جایی شمع تغییر می‌نماید. نمودارهای مربوط به نظریه ضریب واکنش بستر که ضریب افقی واکنش بستر آنها از جدول (۲) به دست آمده است و به بیان دیگر ثابت فرض شده با نام Sub-Re. مشخص شده است. هم‌چنین نمودارهای مربوط به این نظریه که ضریب افقی واکنش بستر آنها از رابطه (۹) به دست آمده با نام Sub-Re.(nh) درج شده است. برای نمودارهای مربوط به نظریه الاستیک از نام Elastic و برای نظریه حداکثر ضریب افقی واکنش بستر از نام  $K_{hmax}$  استفاده شده است.

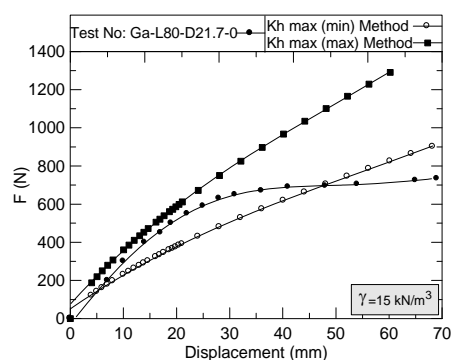
**تغییر مکان جانبی شمع‌های گالوانیزه‌ای.** در شکل (۳) نتایج آزمایشگاهی شمع گالوانیزه با قطر ۲۷ میلی‌متر که تحت اثر بار جانبی در خاک با وزن مخصوص ۱۵ کیلونیوتن بر متر مکعب در آزمایشگاه قرار گرفته است با تئوری‌های ضریب واکنش بستر و نظریه الاستیک مورد مقایسه قرار گرفته است. همان‌گونه که دیده می‌شود اگر در نظریه ضریب واکنش بستر مقدار ضریب



شکل ۴ مقایسه نتایج آزمایشگاهی با نظریه حداکثر ضریب افقی واکنش بستر



شکل ۵ مقایسه نتایج آزمایشگاهی با نظریه الاستیک و ضریب افقی واکنش بستر



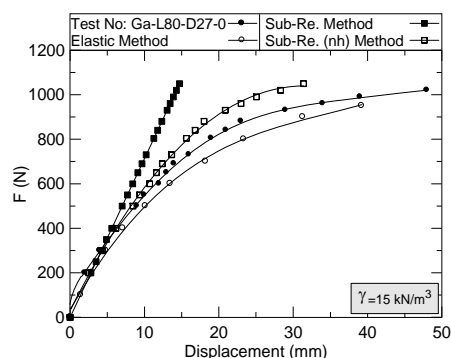
شکل ۶ مقایسه نتایج آزمایشگاهی با نظریه حداکثر ضریب افقی واکنش بستر

در اشکال (۵) و (۶) شمع گالوانیزه‌ای ذکر شده با قطر ۲۱/۷ میلی‌متر در خاک با وزن مخصوص ۱۵ کیلو نیوتن بر متر مکعب با تئوری‌های بیان‌شده مورد مقایسه قرار گرفته شده است. در شکل (۵) مشاهده

افقی واکنش بستر ثابت فرض شود و یا به عبارتی مقدار آن از جدول (۲) انتخاب شود، با افزایش نیرو مقدار جابه‌جایی به‌طور یکنواخت افزایش می‌یابد که بدیهی است این امر با واقعیت تطابق ندارد. در واقع با افزایش نیروی جانبی به مرحله‌ای می‌رسد که با اندک افزایش در نیروی جانبی مقدار جابه‌جایی زیادی حاصل می‌شود.

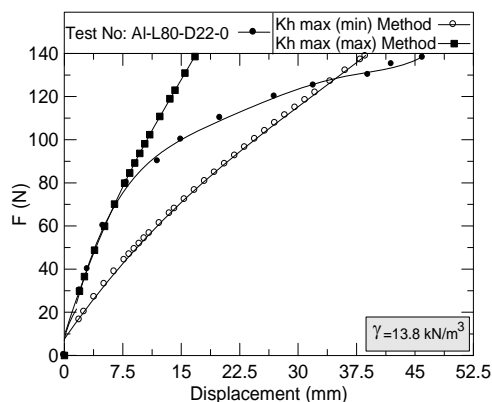
با داشتن اطلاعات دقیق‌تر و استفاده از رابطه (۹) برای به‌دست آوردن ضریب افقی واکنش بستر می‌توان نمودار دقیق‌تری نسبت به واقعیت به‌دست آورد. ملاحظه می‌شود نظریه الاستیک در این شکل تطابق خوبی با نتایج آزمایشگاهی دارد.

در شکل (۴) نمودار شمع گالوانیزه‌ای در خاک با وزن مخصوص ۱۵ کیلو نیوتن بر متر مکعب در کنار نظریه حداکثر ضریب افقی واکنش بستر قرار گرفته است. در نظریه حداکثر ضریب افقی واکنش بستر با استفاده از حد بالا و پایین ضریب افقی واکنش بستر که در جدول (۴) درج شده است، محدوده نمودار شمع‌های بلند تحت اثر بار جانبی را مشخص می‌نماید. در شکل (۴) مشاهده می‌شود نمودار آزمایشگاهی تقریباً در محدوده تعیین شده قرار گرفته است. ابتدای نمودار آزمایشگاهی بر روی مرز بالایی واقع شده است و سپس شیب آن کاهش می‌یابد و به سرعت افقی می‌شود اما نمودارهای حداکثر ضریب افقی واکنش بستر با شیب ملایمی ادامه می‌یابند.



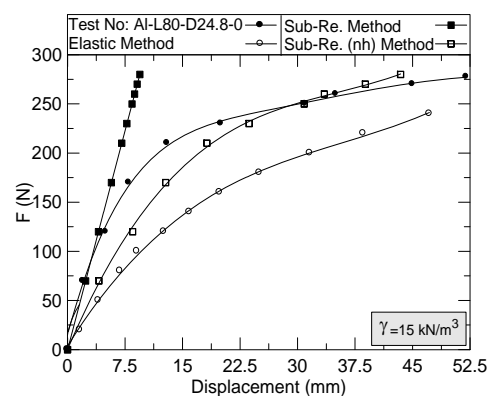
شکل ۳ مقایسه نتایج آزمایشگاهی با نظریه الاستیک و ضریب افقی واکنش بستر



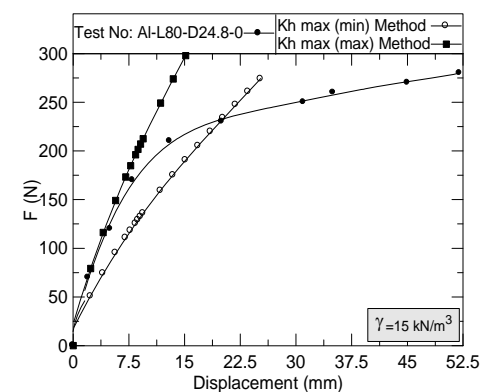


می‌شود نظریه الاستیک تطابق خوبی در مقابل نمودار آزمایشگاهی از خود نشان نمی‌دهد. در شکل (۶) نمودار آزمایشگاهی در محدوده مشخص شده قرار گرفته است که البته انتهای نمودار آزمایشگاهی از این محدوده خارج شده است. ملاحظه می‌شود در نیروی ۷۰۰ نیوتنی تقریباً نمودار آزمایشگاهی به صورت افقی شده است که بیانگر آن است شمع پس از اعمال این نیرو توانایی تحمل کوچک‌ترین باری را ندارد.

شکل ۸ مقایسه نمودار آزمایشگاهی شمع تحت اثر بار جانبی با نظریه حداکثر ضریب افقی واکنش بستر

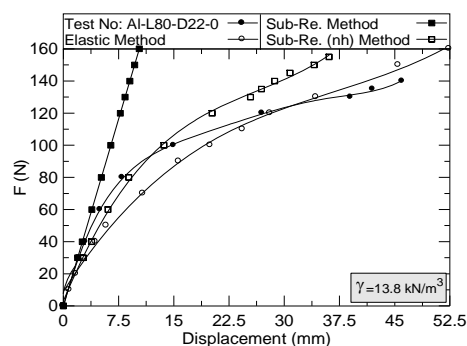


شکل ۹ مقایسه نمودار آزمایشگاهی شمع تحت اثر بار جانبی در خاک با نظریه الاستیک و ضریب افقی واکنش بستر



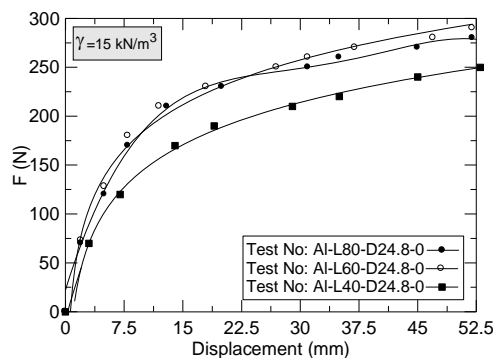
شکل ۱۰ مقایسه نمودار آزمایشگاهی شمع تحت اثر بار جانبی با نظریه حداکثر ضریب افقی واکنش بستر

**تغییر مکان جانبی شمع‌های آلومینیومی.** در شکل (۷) نمودار جابه‌جایی شمع آلومینیومی با قطر ۲۲ میلی‌متر تحت اثر بار جانبی در خاک با وزن مخصوص ۱۳/۸ کیلونیوتن بر متر مکعب با نظریه ضریب افقی واکنش بستر و نظریه الاستیک مقایسه شده است. در ابتدای این نمودار ملاحظه می‌شود تمامی تئوری‌های به کار برده شده تطابق خوبی با نمودار آزمایشگاهی دارند. نمودار جابه‌جایی افقی این شمع با نظریه حداکثر ضریب افقی واکنش بستر نیز مقایسه شده است که در شکل (۸) نمایش داده شده است. لازم به ذکر است، شمع بلند با طول مدفون ۶۰۰ میلی‌متر نیز رفتاری همانند شمع با طول مدفون ۸۰۰ میلی‌متر دارد. نمودار جابه‌جایی افقی شمع آلومینیومی در سطح خاک با قطر ۲۴/۸ در خاک با وزن مخصوص ۱۵ کیلونیوتن بر متر مکعب در شکل‌های (۹) و (۱۰) نشان داده شده است.

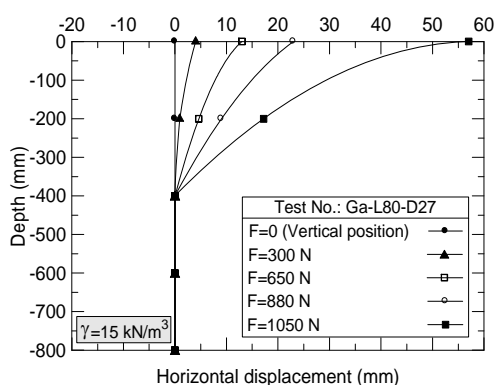


شکل ۷ مقایسه نمودار آزمایشگاهی شمع تحت اثر بار جانبی با نظریه الاستیک و ضریب افقی واکنش بستر

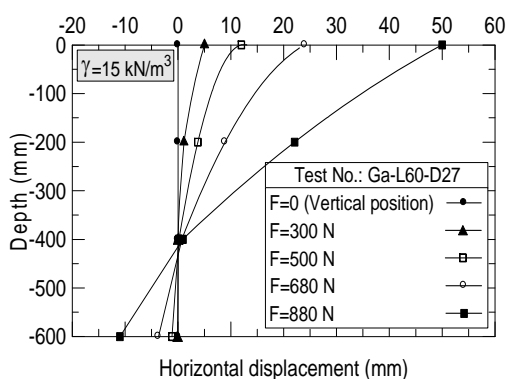
شده است. رفتار شمع گالوانیزه‌ای با طول ۴۰۰ و ۶۰۰ میلی‌متر که در اشکال (۱۳) و (۱۴) قابل مشاهده است، به شکل شمع کوتاه می‌باشد. با توجه به اشکال (۱۵) و (۱۶) ملاحظه می‌شود رفتار دو شمع آلومینیومی با طول‌های ۶۰۰ و ۸۰۰ میلی‌متر تقریباً یکی می‌باشد و شمع آلومینیومی دارای طول ۴۰۰ میلی‌متر که در شکل (۱۷) نمایش داده شده است تحت اثر بار جانبی ابتدا کمی خمیده شده است و سپس شروع به دوران نموده است.



شکل ۱۱ رفتار شمع‌های آلومینیومی در خاک با وزن مخصوص  $15 \text{ kN/m}^3$



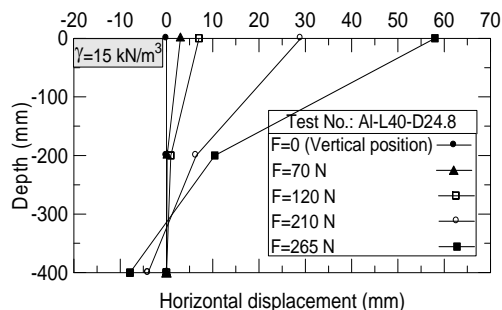
شکل ۱۲ جابه‌جایی افقی شمع با طول مدفون ۸۰۰ میلی‌متر در اعماق متفاوت



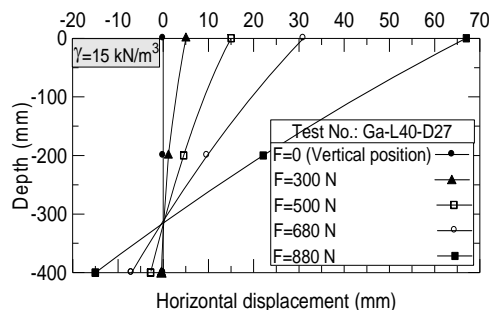
شکل ۱۳ جابه‌جایی افقی شمع با طول مدفون ۸۰۰ میلی‌متر در اعماق متفاوت

**رفتار شمع‌های بلند.** شمع بلند تحت اثر بار جانبی در نقطه‌ای در طول شمع تشکیل مفصل می‌دهد. قسمت بالای نقطه مفصل جابه‌جایی افقی خواهد داشت و قسمت پایین نقطه مفصل در خاک به‌طور ثابت باقی خواهد ماند. اگر طولی که در داخل خاک ثابت باقی‌ماند به اصطلاح طول گیرداری نامیده شود، افزایش طول شمع در هر شمع بلندی که طول گیرداری آن تأمین شده باشد تأثیری در رفتار آن شمع ندارد. شمع‌های بلند آلومینیومی در خاک با وزن مخصوص ۱۵ کیلو نیوتن بر متر مکعب تحت اثر بار جانبی قرار گرفته‌اند که نتایج آن در شکل (۱۱) مشاهده می‌شود.

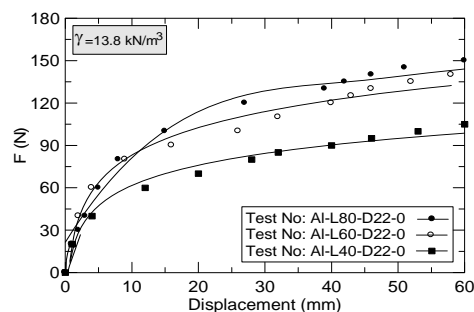
رفتار شمع با طول مدفون ۸۰۰ میلی‌متر کاملاً مشابه با رفتار شمع با طول ۶۰۰ میلی‌متر می‌باشد. در واقع طول گیرداری لازم در شمع با طول مدفون ۶۰۰ میلی‌متر تأمین شده است و با افزایش طول آن به ۸۰۰ میلی‌متر تغییری در رفتار شمع حاصل نمی‌شود. شمع با طول ۴۰۰ میلی‌متر تحت اثر بار جانبی ابتدا خمیده شده و سپس تشکیل مفصل داده است. برای درک بهتر رفتار شمع بلند، تغییر شکل شمع‌های گالوانیزه و آلومینیومی در اعماق خاک با طول‌های ۴۰۰، ۶۰۰ و ۸۰۰ میلی‌متر و قطر ۲۷ و ۲۴/۸ میلی‌متری در اشکال (۱۲) تا (۱۵) به‌عنوان نمونه در چهار مرحله از بار گذاری نمایش داده



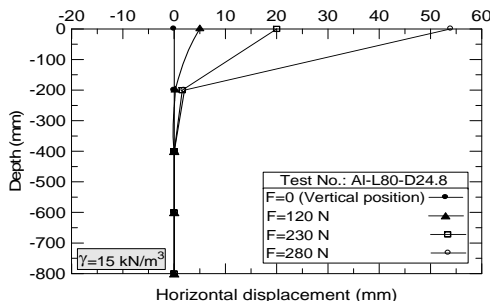
شکل ۱۷ جابه‌جایی افقی شمع با طول مدفون ۴۰۰ میلی‌متر در اعماق متفاوت



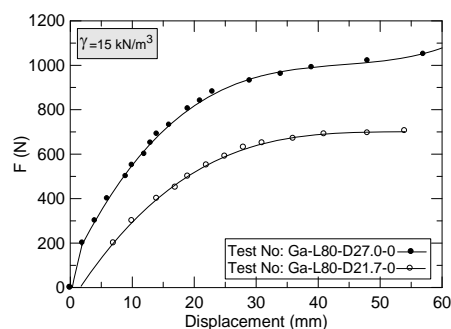
شکل ۱۴ جابه‌جایی افقی شمع با طول مدفون ۸۰۰ میلی‌متر در اعماق متفاوت



شکل ۱۸ رفتار شمع‌های آلومینیومی در خاک با وزن مخصوص ۱۳/۸ kN/m³

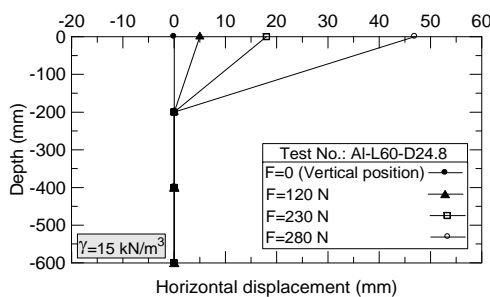


شکل ۱۵ جابه‌جایی افقی شمع با طول مدفون ۸۰۰ میلی‌متر در اعماق متفاوت



شکل ۱۹ رفتار شمع‌های گالوانیزه در خاک با وزن مخصوص ۱۵ kN/m³

در شکل (۱۸) رفتار شمع‌های آلومینیومی در خاک با وزن مخصوص ۱۳/۸ کیلو نیوتن بر متر مکعب تحت اثر بار جانبی مشاهده می‌شود. رفتار شمع با طول مدفون ۸۰۰ میلی‌متر همانند شمع با طول مدفون ۶۰۰ میلی‌متر می‌باشد. در شکل (۱۹) دو شمع بلند در شرایط یکسان تحت اثر بار جانبی قرار گرفته‌اند که ملاحظه می‌شود، برای یک جابه‌جایی افقی مشخص، شمع با قطر بیشتر نیاز به نیروی جانبی بیشتری دارد.



شکل ۱۶ جابه‌جایی افقی شمع با طول مدفون ۶۰۰ میلی‌متر در اعماق متفاوت

مکان تشکیل مفصل در شمع‌های بلند. با مراجعه به جدول (۶) ملاحظه می‌شود شمع آلومینیومی با طول ۸۰۰ میلی‌متر و قطر ۲۴/۸ میلی‌متر در خاک با وزن مخصوص ۱۵ کیلو نیوتن بر متر مکعب در فاصله ۱۴۰ میلی‌متری نسبت به سطح خاک، تشکیل مفصل داده اما شمع گالوانیزه ای با همان طول و قطر ۲۱/۷ در فاصله

۲۴۰ میلی‌متری نسبت به سطح خاک تشکیل مفصل داده است. هم‌چنین شمع گالوانیزه‌ای با قطر بیشتر در فاصله ۲۵۰ میلی‌متری نسبت به سطح خاک تشکیل مفصل داده است که این روند نشان می‌دهد در شرایط یکسان با افزایش سختی شمع، نقطه مفصلی شدن نسبت به سطح خاک افزایش می‌یابد. شمع با طول مدفون ۴۰۰ میلی‌متری نیز به دلیل عدم تأمین طول گیرداری لازم شروع به دوران نموده است. لازم به توضیح است که شمع با طول مدفون ۴۰۰ میلی‌متر در خاک با وزن مخصوص ۱۳/۸ کیلونیوتن بر متر مکعب تحت اثر نیروی جانبی مقدار انحنای بسیار کمی نسبت به بقیه شمع‌ها داشته است. این شمع هنوز به‌طور کامل تشکیل مفصل نداده که شروع به دوران نموده است.

**نتایج پیش‌بینی رفتار شمع‌ها.** در بین شمع‌های مورد آزمایش چهار شمع با کدهای Ga-L40-D21.7، Ga-L60-D21.7، Ga-L40-D27 و Ga-L60-D27 رفتار شمع کوتاه و بقیه رفتار شمع بلند از خود نشان داده‌اند. با در نظر گرفتن جدول (۱) و جدول (۷) ملاحظه می‌شود در میان روابط ارائه شده برای پیش‌بینی رفتار شمع‌ها، رابطه برامز نسبت به سایر روابط پیشنهاد شده، رفتار شمع‌ها را بهتر پیش‌بینی نموده است. در رابطه برامز در صورتی که نسبت طول شمع مدفون به طول مشخص کوچک‌تر از عدد دو و یا بزرگ‌تر از چهار باشد شمع به ترتیب کوتاه و بلند می‌باشد و در صورتی که بین دو و چهار باشد ممکن است شمع رفتار بلند یا کوتاه داشته باشد.

جدول ۶ نقطه مفصل شمع نسبت به سطح خاک تحت اثر بار جانبی

Test No.	وزن مخصوص خاک (kN/m <sup>3</sup> )	نقطه مفصلی شدن نسبت به سطح خاک (mm)	توضیحات
Al-L40-D22	13.8	100	نقطه دوران نسبت به سطح خاک ۳۱۰ میلی‌متر
Al-L60-D22		165	
Al-L80-D22		170	
Al-L40-D24.8	15	150	نقطه دوران نسبت به سطح خاک ۳۰۰ میلی‌متر
Al-L60-D24.8		145	
Al-L80-D24.8		140	
Ga-L80-21.7	15	240	
Ga-L80-D27	15	250	

جدول ۷ پیش‌بینی رفتار شمع‌ها

Label	$\gamma$	Ep	Es	Broms	Poulos & Davis	Bierschwale	Dobry	Davies & Budhu	Poulos & Hull
	kN/m <sup>3</sup>	GPa	MPa	L/T	Kr	L/B	SH	1.5BK <sup>0.36</sup>	Lc
Ga-L40-D21.7	15	196	40	1.94	0.0013	18	2.19	0.7	0.34
Ga-L60-D21.7	15	196	40	3.15	0.0003	27	3.29	0.7	0.34
Ga-L80-D21.7	15	196	40	4.49	0.0001	36	4.38	0.7	0.34
Ga-L40-D27	15	196	40	1.83	0.0028	14	1.76	0.87	0.41
Ga-L60-D27	15	196	40	3.02	0.0005	22	2.64	0.87	0.41
Ga-L80-D27	15	196	40	4.06	0.0002	29	3.52	0.87	0.41
Al-L40-D22	13.8	68	16.4	2.84	0.001	18	2.5	0.67	0.32
Al-L60-D22	13.8	68	16.4	4.26	0.0002	27	3.37	0.67	0.32
Al-L80-D22	13.8	68	16.4	5.68	0.0001	36	4.5	0.67	0.32
Al-L40-D24.8	15	68	40	2.76	0.0005	16	2.49	0.55	0.26
Al-L60-D24.8	15	68	40	4.14	0.0001	24	3.74	0.55	0.26
Al-L80-D24.8	15	68	40	5.51	0	32	4.99	0.55	0.26

### بحث بر روی نتایج

با توجه به آزمایش‌های صورت گرفته و مشاهده نتایج می‌توان گفت در صورت استفاده از نظریه ضریب واکنش بستر به نحوی که مقدار ضریب افقی واکنش بستر ثابت فرض شود برای تغییر شکل‌های اولیه شمع می‌تواند کاربرد داشته باشد (محدوده ابتدای نمودار شکل (۳) که شمع رفتار الاستیک دارد). باید دانست ضریب افقی واکنش بستر نه تنها در عمق خاک بلکه در یک عمق ثابت با توجه به تغییر شکل‌های به وجود آمده تغییر پیدا می‌کند. در صورت استفاده از ضریب افقی واکنش بستر متغیر (استفاده از رابطه ۹) نتایج هم‌خوانی بهتری دارد و به واقعیت نزدیک‌تر می‌شود. در نظریه الاستیک نیز هرچه اطلاعات دقیق‌تری از شمع و خاک در محل موجود باشد تطبیق بهتری با واقعیت خواهد داشت.

هنگامی که شمع تحت اثر بار جانبی قرار می‌گیرد (شکل ۴)، اگر نیروی جانبی به‌طور پیوسته افزایش یابد زمانی می‌رسد که با کوچک‌ترین افزایش نیرو، شمع جابه‌جایی زیادی از خود نشان می‌دهد. این موضوع در نمودارهای حداکثر ضریب افقی واکنش بستر مشاهده نمی‌شود. نمودارهای حداکثر ضریب افقی واکنش بستر تا جابه‌جایی افقی زیادی تا حد دو برابر قطر شمع در مقابل نمودار آزمایشگاهی تطابق خوبی از خود نشان می‌دهند و می‌توان از آنها در پیش‌بینی حداکثر ظرفیت باربری شمع تحت اثر بار جانبی استفاده نمود.

با توجه به نتایج و مقایسه‌های انجام شده می‌توان گفت برای پیش‌بینی رفتار شمع بلند تحت اثر بار جانبی در صورتی که اطلاعات دقیقی از خاک به‌ویژه ضریب افقی واکنش بستر موجود باشد، روش ضریب افقی واکنش بستر با متغیر در نظر گرفتن ضریب افقی واکنش بستر بهترین روش در میان روش‌های نام‌برده است. در صورتی که اطلاعات کلی از خاک و شمع موجود باشد، می‌توان با توجه به داده‌های موجود از هر یک از روش‌های الاستیک و حداکثر ضریب افقی واکنش بستر استفاده نمود. روش حداکثر ضریب افقی واکنش بستر

محدوده‌ای را مشخص می‌کند و نتایج آزمایشگاهی نشان می‌دهد در اکثر مواقع تقریباً نمودار جابه‌جایی افقی شمع در این محدوده قرار می‌گیرد. لذا این روش نسبت به روش الاستیک بهتر به نظر می‌رسد.

رفتار شمع‌های بلند با طول‌های متفاوت و سایر مشخصات یکسان در صورتی که طول گیرداری آنها تأمین شده باشد، یکسان است. در نیروهای کوچک جابه‌جایی این شمع‌ها نزدیک به هم می‌باشد. در ابتدای نمودار مشخص می‌باشد که تمام نمودارها تقریباً بر روی یکدیگر قرار گرفته‌اند (شکل ۱۱) سپس شمع کوتاه‌تر به علت عدم تأمین طول گیرداری لازم، شروع به دوران کرده است. در واقع نیروی لازم برای جابه‌جا نمودن خاک اطراف کمتر از نیروی لازم برای ادامه خم نمودن شمع بوده است. با در نظر گرفتن نمودارها و جابه‌جایی‌هایی که در عمق خاک صورت گرفته می‌توان گفت که طول مدفون لازم برای این شمع‌ها بیشتر از ۴۰۰ میلی‌متر و کمتر از ۶۰۰ میلی‌متر می‌باشد که افزایش طول شمع بیشتر از آن، تأثیری بر رفتار شمع ندارد. در صورت تأمین طول گیرداری شمع افزایش طول شمع تأثیری در رفتار شمع ندارد.

### نتیجه‌گیری

۱. در میان روابط ارائه شده برای پیش‌بینی رفتار شمع به لحاظ کوتاه یا بلند بودن، رابطه براز نسبت به سایر روابط از دقت بیشتری برخوردار است.
۲. در میان روش‌های نام‌برده، نظریه حداکثر ضریب افقی واکنش بستر نسبت به سایر نظریه‌ها برای تعیین ظرفیت باربری جانبی شمع‌های بلند بهتر می‌باشد. البته با داشتن مقدار دقیق ضریب افقی واکنش بستر می‌توان از نظریه ضریب افقی واکنش بستر نیز استفاده نمود.
۳. افزایش قطر در شمع‌های بلند باعث افزایش ظرفیت باربری جانبی می‌شود.
۴. افزایش طول شمع در شمع‌های بلندی که طول گیرداری آنها تأمین شده است، هیچ تأثیری در

ظرفیت باربری شمع ندارد.  
 ۵. تغییر سختی شمع بلند باعث تغییر فاصله نقطه مفصلی شدن در طول شمع نسبت به سطح خاک می‌شود. به‌طور کلی با افزایش سختی شمع فاصله نقطه مفصل نسبت به سطح خاک افزایش می‌یابد.

## مراجع

1. Poulos, H.G. and Davis, E.H., "Pile Foundation Analysis and Design", John Wiley and Sons, New York, NY, (1980).
2. Hansen B., J., "The Ultimate Resistance of Rigid Piles Against Transversal Forces", Danish Geotech. Institute, Bull, Copenhagen 12, pp. 5-9, (1961).
3. Broms, B., "The Lateral Resistance of Piles in Cohesive Soils", *J. Soil Mech. Found. Div.*, ASCE, Vol. 90, No. SM2, pp. 27-63, (1964a).
4. Broms, B., "The Lateral Resistance of Piles in Chesive Soils", *J. Soil Mech. Found. Div.*, ASCE., Vol. 90, No. SM3, pp. 123-156, (1964b).
5. Petrasovits, G. and Award, A., "Ultimate Lateral Resistance of a Rigid Pile in Cohesionless Soil", *Proc., 5<sup>th</sup> European Conf. on SMFE, Madrid*, Vol. 3, pp. 407-412, (1972).
6. Meyerhof, G. G., Mathur, S. K. and Valsangkar, A. J., "Lateral Resistance and Deflection of Rigid Wall and Piles in Layered Soils", *Canadian Geotech. J.*, Vol. 18, pp. 159-70, (1981).
7. Meyerhof, G. G., "Behaviour of Pile Foundations Under Special Loading Conditions", *Canadian Geotech. J.*, Vol. 32, pp. 204-22, (1995).
8. Prasad, V.S.N. and Chari, T. R., "Lateral Capacity of Model Rigid Piles in Cohesionless Soils", *Japanese Geotechnical Society*, Vol. 39, No. 2, pp. 21-29, (1999).
9. Reese, L. C. and Matlock, H., "Non-Dimensional Solutions for Laterally Loaded Piles with Soil Modulus Assumed Proportional to Depth", *8<sup>th</sup> Texas Conference on Soil Mechanics and Foundation Engineering*, Austin, TX, pp. 1-41, (1956).
10. Kumar, S., Lalvani, L. and Omar, M., "Nonlinear Response of Single Piles in Sand Subjected to Lateral Loads Using Khmax Approach", *Geotechnical and Geological Engineering Journal*, Springer, Vol. 24, pp. 163-181, (2006).
11. Christensen, N. H., "Model Tests with Transversally Loaded Rigid Piles in Sand", *Danish Geotech. Ins., Bull. Copenhagen*, No. 12, pp. 10-16, (1961).
12. Zhang, L., Silva, F. and Grismala, R., "Ultimate Lateral Resistance to Piles in Cohesionless Soils", *J.Geotech. Geoenviron. ASCE*, Vol.131, pp. 78-83, (2005).
13. Murugan, M., Natarajan, C. and Muthukkumaran, K., "Behavior of Laterally Loaded Piles in Cohesionless soils", *J. Earth Science and Engineering*, Vol. 4, No. 6 SPL, pp.104-106, (2011).
14. Boominathan, A., Ayothiraman, R., "An Experimental Study on Static and Dynamic Bending

- Behavior of Piles in Soft Clay", *Geotechnical and Geological Engineering*, Springer, Vol. 25, pp. 177-189, (2007).
15. Bierschwale. M., Coyle. H. and Bartowkewitz, R., "Lateral Load Tests on Drilled Shafts Founded in Clay", *Drilled Piers Caissons ASCE*, pp. 98-113, (1981).
  16. Dobry, R., Vicente, E., O'Rourke and Roesset, JM., "Horizontal Stiffness and Damping of Single piles", *J. Geotech. Eng Div ASCE*, Vol. 108, pp. 439-459, (1982).
  17. Davies, T. and Budhu, M., "Nonlinear Analysis of Laterally Loaded Piles in Heavily Over Consolidated Clay", *Geotechnique*. Vol. 36, pp. 527-538, (1986).
  18. Poulos, H. G. and Hull, T., "The Role of Analytical Geo-mechanics Current Principles and Practices", *ASCE*, Vol. 2, pp. 1578-1606, (1989).
  19. Terzaghi, K., "Evaluation of coefficient of subgrade reaction", *Geotechnique*, Vol. 5, pp. 297-326, (1955).
  20. Seed, H.B and Idriss, I M " Soil moduli and damping factors for dynamic response analyses", Report EERC 70-10, Earthquake Engineering Research Center, University of California, Berkeley (1970).
  21. Mwindo, J.M., "Strain Dependent Soil Modulus of Horizontal Subgrade Reaction", MS Thesis, University of Missonri, Rolla, Mo, (1992).
  22. Kumar, S., "Non-Linear Load Deflection Prediction of Single Piles in Sand Using a Subgrade Reaction Approach", MS Thesis, University of Missouri, Rolla, MO, (1993).
  23. Prakash, S., and Kumar, S., "Nonlinear Lateral Pile Deflection Prediction in Sands", *Journal of Geotechnical Engineering*, ASCE, Vol. 122, No. 2, pp. 130-138, (1996).
  24. Blaney, G. W. and O'Neill, M. W., "Measured Lateral Response of Mass on Single Pile in Clay", *Journal of Geotechnical Engineering*, ASCE, Vol. 114, No.11, pp. 126-1342, (1986).
  25. Movahedifar, M. and Bolouri-Bazaz, J., "An Estimation of Passive Pressure Against Integral Bridge Abutments Considering Arching Effects ", *ACTA Geotechnica Slovenica.*, Vol. 10, No. 1, pp. 19-31,(2013).
۲۶. کشاورز، جواد " بررسی آزمایشگاهی ظرفیت باربری جانبی شمع‌ها در خاک ماسه‌ای "، پایان نامه کارشناسی ارشد، گروه عمران، دانشگاه فردوسی مشهد (۱۳۹۱).

